

- 3) 荒川・鉄と鋼, 50 (1964) 14, p. 2285
 4) 荒川・鉄と鋼, 51 (1965) 7, p. 1227
 5) H. GYG: 3rd International Sym. on the chem. of Cement (1952)
 6) 日本セメント技術協会, 燃料委員会報告, T-5 (1961) April
 7) M. J. UDY: Iron & Steel Eng., 11(1959) 11, p. 111
 8) 城・井田, 他: 鉄と鋼, 47 (1961) 3, p. 263
 9) KUBASCHEWSKI: Metallurgical Thermochemistry (1956) Wiley, NY.
 10) 化学便覧, 日本化学会 (1962) 丸善
 11) E. ZIEGLER: Zement-Kalk-Gips, 9(1956) 5
 12) 矢木・国井: 工業窯炉 (1953) 共立出版

ハーシナイト (FeAl_2O_4) の生成と還元反応*

蓑輪 晋**・山田 守***・加藤 誠***

The Study on the Formation and Reduction of Hercynite (FeAl_2O_4)

Susumu MINOWA, Mamoru YAMADA and Makoto KATO

Synopsis :

The spinel hercynite (FeAl_2O_4) occurs as a reaction product with the deoxidation by aluminium of liquid steel, or when iron oxides come into contact with alumina refractories. The behaviors of hercynite in liquid iron and steel are of great interest, but until recently, few investigations of the rate of formation and reduction of hercynite have been carried out.

In this work, the rate of formation of hercynite from mixture of ferrous oxide and α -alumina at temperatures from 850°C to 1200°C was measured. The rate of reduction by hydrogen stream at 700°C to 900°C was measured by the thermo-balance method. As the supplementary work, the products of reduction by hydrogen, solid carbon and soluble carbon in liquid iron were examined by X-ray diffraction.

The results obtained are as follows :

1) The rate of formation agrees with Jander's equation and the value of activation energy is 60 kcal/mol, approximately. The relation between rate constant (k) and temperature ($T^\circ\text{K}$) is represented by the equation :

$$\log k = -14410/T + 7.69$$

2) The rate of reduction agrees with McKewan's equation and the relation between $\log k$ and T can be expressed by the following equation :

$$\log k = -8390/T + 2.42$$

From this equation, the activation energy is found to be approximately 39 kcal/mol.

3) It is found that FeAl_2O_4 is decomposed into Fe and materials of spinel type with H_2 or carbon, in the first stage of reduction, and at high temperature the spinel materials finally become $\alpha\text{-Al}_2\text{O}_3$.

(Received 30 Apr. 1965)

1. 緒 言

製鋼作業における脱酸生成物¹⁾として、あるいは溶鋼とアルミナ質耐火物との反応生成物²⁾として Hercynite (FeAl_2O_4) の存在はこれまでの研究によつて知られている。いまアルミ脱酸について考えると、アルミニウム添加直後では脱酸生成物の成分割合から FeAl_2O_4 量が大であり、時間の経過とともに $\alpha\text{-Al}_2\text{O}_3$ が富化するとの報告³⁾にも見られるように、 FeAl_2O_4 の挙動には興味深い問題が多いと考えられる。しかるに FeAl_2O_4 の安定性に関する報告例⁴⁾は比較的少なく、さらにその生成と分

解についての速度論的研究は固相反応において B. G. BALDWIN⁵⁾ と B. G. LEBEDEV⁶⁾ らが行なつた報告以外には全く乏しいのが現状である。一方最近諸家⁷⁾⁸⁾⁹⁾の研究により、アルミ脱酸の生成物としてはただ単に $\alpha\text{-Al}_2\text{O}_3$ が存在するのではなく、いわゆるアルミナの多形の問題が注目されてきており、同時にそれらのアルミナの生成機構についての論議も活発になつてきた。すでに

* 昭和39年10月、40年4月本会講演大会にて発表
昭和40年4月30日受付

** 名古屋工業技術試験所、工博

*** 名古屋工業技術試験所

筆者の内の一人¹⁰⁾が高炭素鉄粉の存在のもとに比較的低温度では α -石英がクリストバライトに変態することを認めているが、アルミナの形態についてもこれと同様に考えると、 FeAl_2O_4 の還元分解反応によつて生成するアルミナの形態を明らかにしておくことは脱酸生成物の多形の問題とともに興味あることである。

以上の観点から筆者らは 1) 鉄酸化物とアルミナから生成される FeAl_2O_4 の生成条件を固相温度域で検討し、溶鋼中の生成速度を推論した。2) 合成した FeAl_2O_4 粉末の水素気流中での還元反応速度を測定し、この還元終了後の粉末のX線回折によつて生成したアルミナの形態を明らかにした。3) 補足的実験として溶鉄中に合成した FeAl_2O_4 を添加して FeAl_2O_4 の炭素による還元と溶鉄中の FeAl_2O_4 の挙動について検討した結果を述べる。

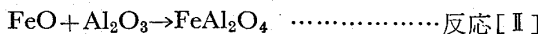
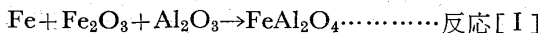
2. FeAl_2O_4 の生成速度に関する実験

本実験では FeAl_2O_4 の固相における生成条件を明らかにする目的で鉄酸化物、鉄粉およびアルミナ粉を配合して800~1200°Cで FeAl_2O_4 の生成量をX線的に定量した。同時にこの結果が粉体の固相反応における放物線法則¹⁰⁾、あるいはJanderの式¹¹⁾に適合するか否かを検討した。

2.1 実験条件ならびに実験方法

供試材料は全て粉末状態のものを使用した。すなわちFeは電解鉄粉、 Fe_2O_3 は化学用特級試薬(粒度10μ以下)、また $\alpha\text{-Al}_2\text{O}_3$ は低ソーダアルミナ(純度99.9%以上)のものである。粒度は Fe_2O_3 以外は30μ以下である。

FeO 粒末の作製¹²⁾は上記のFe粉と Fe_2O_3 粉とを等モルに配合して1200°C、1hr、Ar気流中で焼成して得た。X線回折の結果は少量のFe成分が残存したほかはほとんど完全な FeO であり、この粒度も30μ以下のものであつた。以上の諸粉末を用いて、本実験ではおもに次の二つの反応について実験を進めた。



[I]、[II]の場合とも試料は反応が完全に進行したときにはすべて FeAl_2O_4 になるように配合したものを円板状タブレット(1cm²×0.4cm)に成形して実験に供した。重量は1.3±0.1gでほとんど一定であつた。

実験装置の概要をFig. 1に示した。試料はポートとの反応を防ぐためにあらかじめポート内に $\alpha\text{-Al}_2\text{O}_3$ 粉をしいてその上に成形した試料を置いた。このポートを反応管に収めて十分に反応装置全体を精製したArで置換

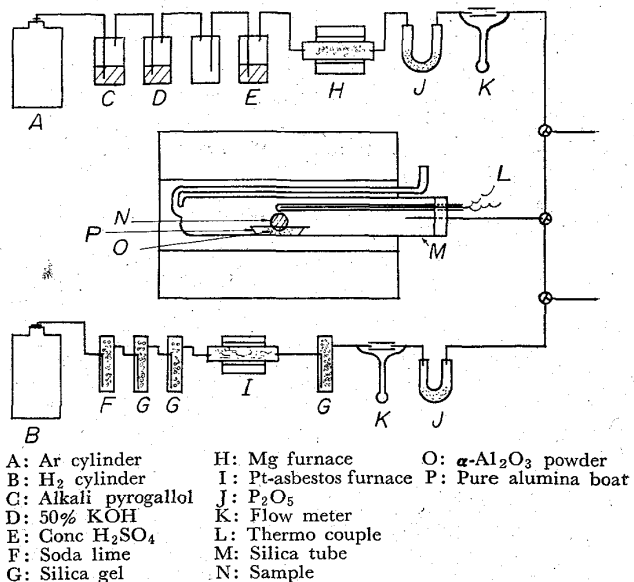


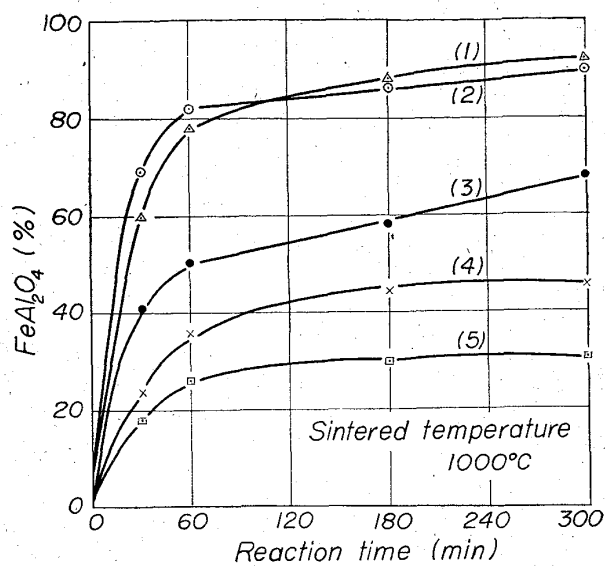
Fig. 1. Schematic diagram of apparatus.

せしめた後、予熱してある加熱炉に入れる、45cc/minのArを流しつつ所定温度で所定時間保持した。実験後は反応管を取り出してできるだけすみやかに冷却した。測温は試料直上の熱電対の指示にしたがつた。X線による定量分析においては FeAl_2O_4 の(220)と(311)の二本の回折線を用いた。また100% FeAl_2O_4 としては反応[I]の試料を1200°C、20hr焼成して得た。X線的および検鏡結果からは完全な FeAl_2O_4 と認められた。なおこの粉末については5%HClアルコール溶液¹³⁾に溶解させた結果からも FeAl_2O_4 以外の物質はほとんど認められなかつた。

2.2 FeAl_2O_4 の生成条件の検討

Fig. 2に示したように(1)~(5)の方法によつて FeAl_2O_4 の生成しやすさを1000°Cにて比較調査した。(1)(2)はFe粉+ Fe_2O_3 (または Fe_3O_4)粉+ Al_2O_3 粉を混合成形後1000°CでAr中にて反応させたものである。(3)(4)は前述した方法であらかじめ合成した FeO 粉末を使用した場合の結果である。たとえば(3)は800°CでFe粉+ Fe_2O_3 粉を60min Ar中にて焼成し、これを微粉碎してさらに Al_2O_3 粉を配合添加し、成形して1000°CでAr中にて反応させたものである。(4)はFe粉+ Fe_2O_3 粉を1200°C、60minの条件で加熱したほかは(3)と同一条件である。(5)は Fe_2O_3 粉を1100°C、150min、空気中加熱し、Fe粉と Al_2O_3 粉は(1)と同じものを用いた時の結果を示したものである。

Fig. 2の結果から FeAl_2O_4 の生成は(1)(2)の条件がもつとも生成しやすいことを知つた。溶鋼中の FeAl_2O_4 の生成を考慮するために FeO の存在を無視することはできないと考えられたので以下の実験では(1)



- (1) $\text{Fe} + \text{Fe}_2\text{O}_3 + \text{Al}_2\text{O}_3 \rightarrow \text{FeAl}_2\text{O}_4$ (Fe, Fe_2O_3 : no heating)
- (2) $\text{Fe} + \text{Fe}_3\text{O}_4 + \text{Al}_2\text{O}_3 \rightarrow \text{FeAl}_2\text{O}_4$ (Fe, Fe_3O_4 : no heating)
- (3) $\text{FeO} + \text{Al}_2\text{O}_3 \rightarrow \text{FeAl}_2\text{O}_4$ ($\text{Fe} + \text{Fe}_2\text{O}_3 \rightarrow \text{FeO}$ 800°C, 60min, heating in Ar)
- (4) $\text{FeO} + \text{Al}_2\text{O}_3 \rightarrow \text{FeAl}_2\text{O}_4$ ($\text{Fe} + \text{Fe}_2\text{O}_3 \rightarrow \text{FeO}$ 1200°C, 60min, heating in Ar)
- (5) $\text{Fe} + \text{Fe}_2\text{O}_3 + \text{Al}_2\text{O}_3 \rightarrow \text{FeAl}_2\text{O}_4$ (Fe_2O_3 1100°C, 150min, heating in air)

Fig. 2. The change of the amount of FeAl_2O_4 when using various materials.

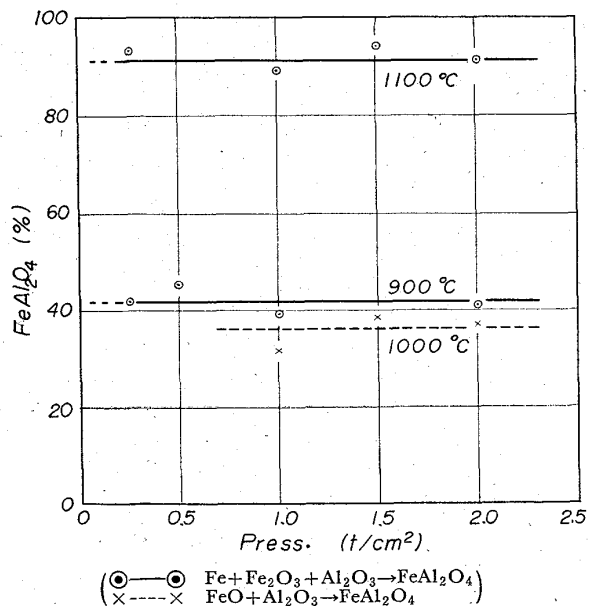


Fig. 3. The relation between the amount of FeAl_2O_4 and molding pressure.

と(4)の条件、すなわち反応[I]と[II]の生成条件について実験を進めることにした。

2.3 成形圧の影響

本実験のごとき粉末粒子の成形体中での反応が進行する場合には各粒子の接触点から反応がはじまる。したがつてタブレットの成形圧と反応生成量との関係を明らかにしておく必要がある。その結果を Fig. 3 に示した。

実線は反応[I]の場合であり、破線は反応[II]の場合である。この結果によれば $0.5\sim 2\text{ t}/\text{cm}^2$ の成形圧においては反応生成量へのいちぢるしい影響は見られない。成形体の取り扱いやすさ、すなわち未焼成のタブレットの強度を考慮すると反応[II]のものは反応[I]のものに比して $1\text{ t}/\text{cm}^2$ 以下ではぜい弱であつたので反応[II]については $2\text{ t}/\text{cm}^2$ で、反応[I]については $1\text{ t}/\text{cm}^2$ の条件で成形したものを利用することとした。

2.4 FeAl_2O_4 の生成量変化と反応速度式

Fig. 4, Fig. 5 に反応[I][II]の各温度での FeAl_2O_4 生成量の結果を示した。反応[I]の場合では温度の上昇とともに FeAl_2O_4 の初期の生成速度はいちぢるしく大きくなることが知られる。 FeAl_2O_4 の生成量は 1200°C , 30min の焼成条件でほとんど 100% に達している。また時間が経過するとともに反応速度は非常に小となり、ついにはみかけ上の平衡に達する。いずれにしても

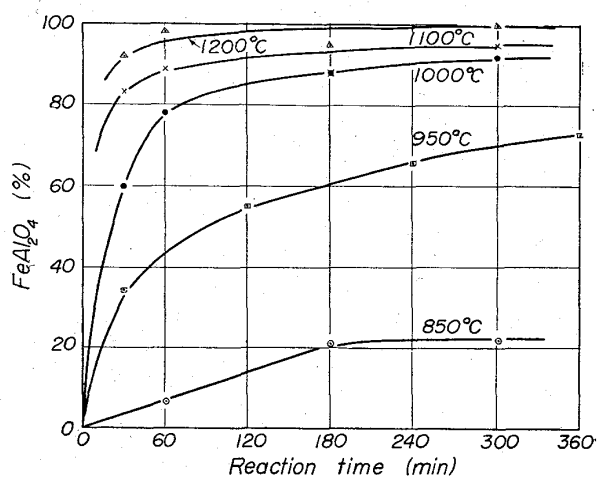


Fig. 4. The change of the amount of FeAl_2O_4 .

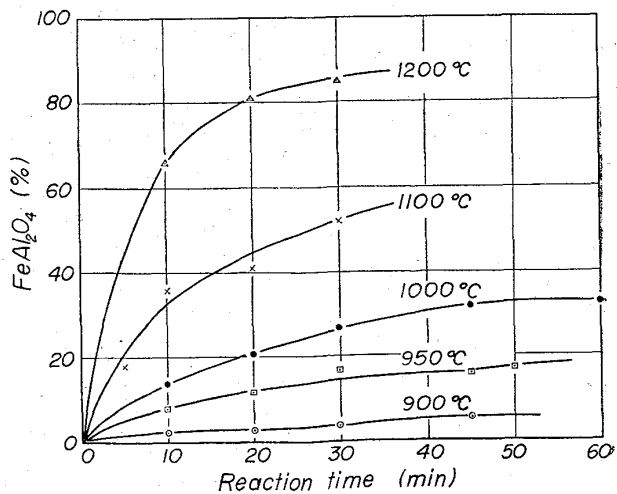


Fig. 5. The change of the amount of FeAl_2O_4 .

反応[Ⅰ]の反応速度は 1100°C 以上の温度では非常に大であると推察できる。Fig. 5 は反応[Ⅱ]の場合の結果で Fig. 4 と比較してみると短時間での FeAl_2O_4 生成量は反応[Ⅰ]の方が反応[Ⅱ]に比べて大である。

一般に固体反応は不均一系反応の機構をもつて反応が進行するものであり、とくに本実験のごときスピネルの生成に関してはいずれかの相内部に反応の律速段階があるものとされている¹⁴⁾。本実験の FeAl_2O_4 スピネルにおいても FeO と $\alpha\text{-Al}_2\text{O}_3$ のいずれが拡散していくかを知る必要があるが、既存の ZnAl_2O_4 および NiAl_2O_4 のデーター¹⁵⁾から推論すれば、おそらく FeO が $\alpha\text{-Al}_2\text{O}_3$ 中に拡散していくと仮定してよいと考えられる。

さて粉末系の反応の動力学¹⁶⁾は「a) 反応粒子は球状である。 b) 反応は成分粒子の接触点において起る。 c) 反応速度は接触点の数に比例する。 d) 一方拡散もしくは相互拡散である。」といった仮定のもとに論ぜられることが多い。ここではd) 項については一方拡散という仮定をとることにする。ところで前述したように Fig. 4 および Fig. 5 で得られたそれぞれの曲線の形はいわゆる放物線速度式もしくは Jander の式に適合するのではないかと推察できる。ここに放物線速度式を考慮した理由は $ZnAl_2O_4$ の生成速度について R. JAGITSH ら¹⁷⁾がよく一致した結果を示しているからでそのほかの理由はない。

$$\text{Jander の式} \quad [1 - (1 - \alpha)^{1/3}]^2 = k_2 t \quad \dots \dots \dots (2)$$

ここに α は反応生成物の生成量; t は反応時間; k_1, k_2 は反応速度定数である.

(1)および(2)式にそれぞれの数値を代入して得た結果を Fig. 6 に示した。Fig. 6 はいずれも反応 [II] についての結果であり、反応 [I] の場合には(1)(2)式は適合しなかつた。すなわち反応 [II] は放物線速度式ならびに Jander の式によく適合するといえるが、しいていえば後者の(2)式に一層よく適合する。

つぎに常法にしたがつて $\log k$ 対 $1/T$ 図を描くと Fig. 7 のごとくなり、反応の活性化エネルギーは(1)式に適合すると 56.9 kcal/mol (2) 式に適合すると 65.9 kcal/mol となる。一方前述した B. G. BALDWIN による結果を検討すると筆者らの結果と同じように(1)(2)式に適合することがわかつた。彼の $\text{FeO} + \alpha\text{-Al}_2\text{O}_3 = \text{FeAl}_2\text{O}_4$ の生成速度から反応の活性化エネルギーを求めてみると(1)式では 65 kcal/mol (2)式では 61 kcal/mol という結果を得た。よつて筆者らの求めた活性化エネルギーは BALDWIN の結果とはよく一致しているといふことができる。また他のスピネルの生成の活性化エネ

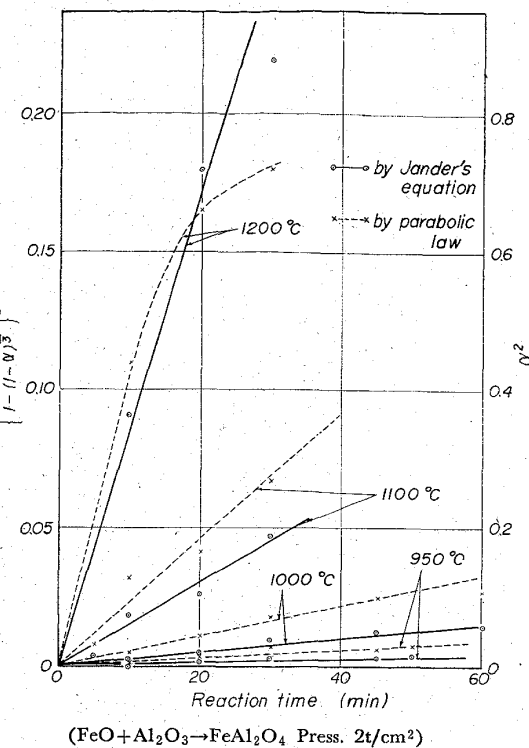


Fig. 6. Relation between reaction time and Jandler's equation and parabolic law.

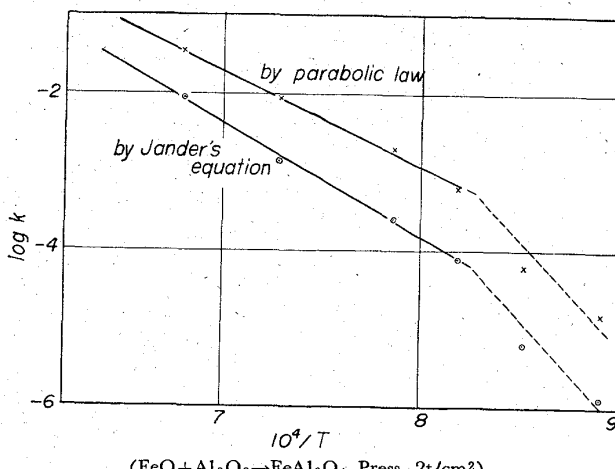


Fig. 7. Relation between $1/T$ vs. $\log k$

ルギーとしては $ZnFe_2O_4$ では 63 kcal/mol¹⁸⁾, $NiFe_2O_4$ では 70 kcal/mol¹⁹⁾ という値も報告されており、本実験結果もこれらの値に比較的よく一致しているといえよう。

Fig. 7 から明らかなように 950°C において折点がある。この折点の生ずる理由については FeAl_2O_4 の生成機構がこの温度の前後で変化するものと考えられるが、本実験結果からは明らかにできなかつた。

3. FeAl_2O_4 の水素還元反応に関する実験

以上の結果からすれば FeAl_2O_4 の生成速度は高温で

は非常に大きいと考えられるにもかかわらず、非金属介在物としての FeAl_2O_4 はごく微量しか検出されていない理由の一つには、この一度生成した FeAl_2O_4 が還元作用を受けて Fe と $\alpha\text{-Al}_2\text{O}_3$ とに分解されることが考えられる。そこで合成した FeAl_2O_4 粉末による水素気流中における還元速度を熱天秤法により調べ、これと FeO 粉末の還元速度とを比較考察してみることにした。さらに水素還元後の FeAl_2O_4 粉末試料についてはX線回折を行ない、反応生成物についての検討をした。

3・1 実験方験

測定は通常の石英スプリング式の熱天秤装置を使用し、試料重量の変化は $0\cdot5\text{ mg}$ まで測定可能な石英スプリングの動きを一定時間ごとにカセットメーターにより測定した。実験終了後は炉中にて室温まで冷却した。

実験に使用した FeAl_2O_4 は反応[I]によって作製したものでこのときの条件は 1300°C , 5 hr, Ar 気流中にて反応させて得たものである。この粉末もX線回折結果、検鏡結果および化学分析結果からはほぼ完全な FeAl_2O_4 と認めたものである。粉末の平均粒度は 15μ である。

なお粉末のほかにタブレットについても水素還元を行ない、 FeAl_2O_4 粉末の還元速度と比較してみたが、このときのタブレット($1\text{cm}^2 \times 0\cdot4\text{cm}$)は FeAl_2O_4 粉末を 2 t/cm^2 の成形圧で成形した円板状のものである。 FeO 粉末については Fe 粉と Fe_2O_3 粉とを等モルに混合したタブレットを 1100°C , 1 hr, Ar 気流中にて焼成後粉碎、成分調整をし、あらためてタブレットに成形したものさらに 1100°C , Ar 気流中にて $0\cdot5\text{hr}$ 焼成したものである。この粉末の平均粒度は 30μ であった。X線回折結果からは FeO 以外の物質は認められなかつた。実験に供した試料重量は FeO 粉末では $0\cdot6\text{ g}$, FeAl_2O_4 粉末とタブレットの場合では 1 g である。

カセットメーターの読みから還元率を求める式としては(3)式を用いた。

$$R(\%) = \frac{(l_t - l_0)(W_0 - W)}{(l_t - l_0) \cdot W_0 \cdot a} \times 100 \quad \dots \dots \dots (3)$$

ここで R : 還元率, l_0 : 反応開始時のカセットメーターの読み, l_t : t 分後のカセットメーターの読み, l : 実験終了後のカセットメーターの読み, W_0 : 最初の試料重量, W : 実験終了後の試料重量, a : 還元により除去されるべき酸素の比率をそれぞれ示す。

3・2 予備実験

3・2・1 FeAl_2O_4 粉末と FeO 粉末の水素還元反応開始温度

FeAl_2O_4 の還元反応開始温度については B.G. LEBEDEV⁶⁾ が固体炭素による還元について 892°C であると報

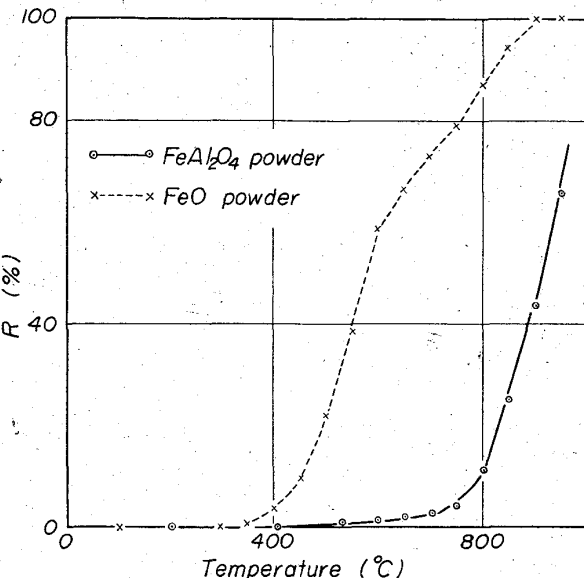


Fig. 8. Relation between temperature and reduction value with H_2 for FeAl_2O_4 and FeO . (Heating rate of furnace $150^\circ\text{C}/\text{hr}$)

告しているが、本実験のごとき水素による還元実験にはそのまま適用はできない。そこで本実験の最適実験温度範囲を知る目的もかねて FeAl_2O_4 粉末と FeO 粉末の水素による還元反応開始温度を炉の昇温速度 $150^\circ\text{C}/\text{hr}$ にして調べてみた。その結果は Fig. 8 のごとくである。これによると FeAl_2O_4 粉末は 650°C 以上においていちぢるしい重量変化が認められた。一方 FeO 粉末については 350°C 付近から急激な重量減少が起つている。以上の結果から FeAl_2O_4 の水素還元は $700\sim900^\circ\text{C}$ の温度範囲において行なうこととした。

なお FeO については一般に Fe_xO ($x < 1$) で表わされているが、本実験に使用した FeO 粉末の組成を Fig. 8 の結果より(3)式を用いて算出した結果 $\text{Fe}_{0\cdot94}\text{O}$ で表わされた。 1100°C での x の値は $0\cdot884 \leq x \leq 0\cdot950$ ²⁰⁾ とされているので本実験に使用した FeO 粉末はこの条件を満しているといえる。

3・2・2 FeAl_2O_4 粉末の水素流量による還元率の変化

鉄酸化物の還元実験でよくいわれているように還元速度は水素流量によって左右される²¹⁾。同様なことが FeAl_2O_4 粉末の水素還元についてもいえるかどうかを 810°C で水素流量 $30\sim210\text{ cc/min}$ の範囲において検討した結果を Fig. 9 に示めます。これより明らかに流量が増加するにしたがつて還元率も増加している。すなわち FeAl_2O_4 粉末の場合も流速の影響を受けることは明らかであるが、実験のしやすさを考慮して以後の水素の流量は 100 cc/min 一定とした。

3・2・3 FeAl_2O_4 タブレットの成形圧と還元率の関係

還元試料としてタブレットを使用するときは成形圧の

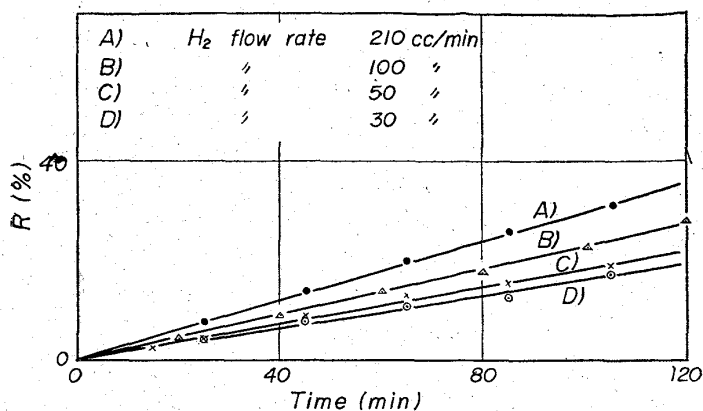


Fig. 9. Change of reduction value of FeAl_2O_4 powder vs. time with various H_2 flow rates.
(Temp. : 810°C)

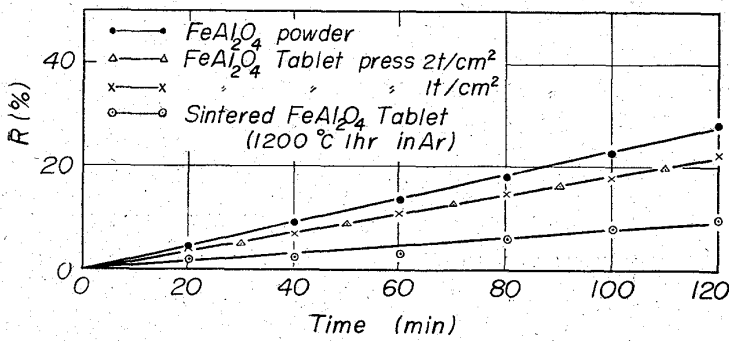


Fig. 10. Change of reduction value of FeAl_2O_4 vs. time with various samples.
(Temp. : 810°C, H_2 flow rate : 100 cc/min)

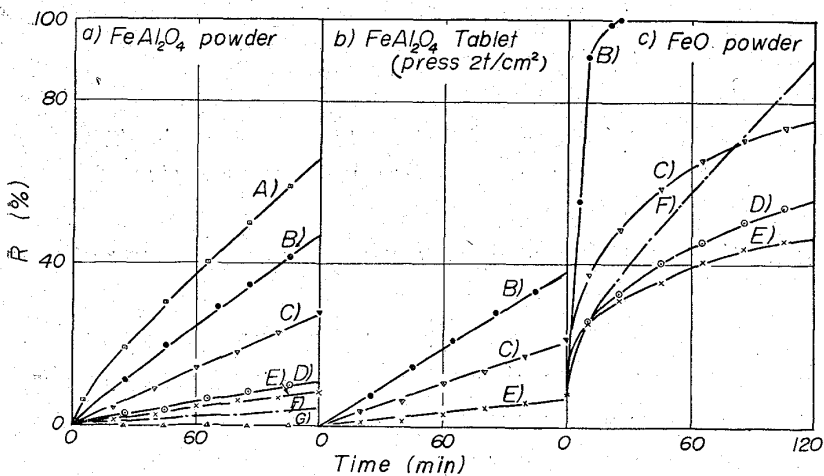


Fig. 11. Relation between reduction value vs. time with various temperatures. (H_2 flow rate 100 cc/min)

差異が還元速度に影響をおよぼすことは当然考えられるので、本実験でも 810°Cにおいて a) 1 t/cm²で成形した FeAl_2O_4 タブレット、b) 2 t/cm²で成形したダブルレット、c) 2 t/cm²で成形してさらに 1200°C, 1hr, Ar 気流中にて焼成したもの、d) FeAl_2O_4 粉末の 4種

類についての水素還元を行ない還元率を求めてみた。Fig. 10 はその結果であるが、粉末がもつとも還元されやすく、また焼成したタブレットがもつとも還元されにくいことがわかつた。しかし成形圧の影響はほとんどないことが明らかとなつた。したがつてタブレットは成形体の取り扱いやすさを考慮して前述したように 2 t/cm²の成形圧で成形したものを実験に供した。

3.3 実験結果

3.3.1 水素による還元速度について

実験温度範囲、水素流量およびタブレットの成形圧を以上のように定めて FeAl_2O_4 粉末、タブレットおよび FeO 粉末について各温度における還元率を測定した。Fig. 11 はその等温還元率曲線である。a) は FeAl_2O_4 粉末について示したものであり、600°Cでは還元していないが、700°C以上になると温度が高くなるにつれて還元速度は増大する傾向を示めしている。b) は FeAl_2O_4 タブレットについての結果である。この場合も FeAl_2O_4 粉末と同じように温度の上昇とともに還元速度は大きくなっている。c) は FeO 粉末についての結果であり、700°Cと 750°C以上との還元率曲線では時間が経過するにつれて異なる傾向を示している。この原因については実験終了後の FeO 粉末の状態から焼結の影響によるものと考えられる。すなわち 700°Cでは FeO は粉末状態であつたのに対して 750°C以上では FeO 粉末および還元により生成した Fe 粉末が時間が経過するにつれて焼結塊化を起こし、水素ガスの試料内部への拡散が防げられて未還元の FeO と水素との反応を遅らせるものと推察される。一方 FeAl_2O_4 粉末の水素還元においては粉末の焼結塊化は本実験温度域では認められなかつた。これは FeAl_2O_4 粉末および還元生成した Fe 粉末の焼結が同じく還元によつて生成したアルミナにより妨げられるためと思われる。

さて鉄鉱石の還元速度式についてはこれまで多くの人により実験式が発表されている。そして古くはガス拡散律速に着目して求められた式が多かつたが、その後化学反応に律速段階をおいて検討するものがふえてきている。さらに最近ではこの両方を一緒にまとめた式²²⁾も提案されている。ガス拡散律速については G. TAMMANN²³⁾, W. JANDER¹¹⁾, 矢木・

国井²⁴⁾らが独自の立場で研究しており、一方化學反應律速の面からは Mc KEWAN²⁵⁾、大藏・松下²⁶⁾らがそれぞれの見地から實驗式を提出している。

本実験結果がこれらの式にどの程度適合するかを上記の各式について検討してみた。

i) G. TAMMANN の説

古くから用いられている彼の式は固体反応においては反応速度は反応時間とともに減少するという考え方から次の(4)式で示めされる。

R : 還元率, k : 反応速度恒数, t : 反応時間

(4)式への本実験結果の適合性は Fig. 12 に表わすごとく比較的低温度で、かつ還元率の小さい場合にはかなりよい一致性を示すが、各試料とも高温になると (4) 式の直線性からはずれる。また反応時間が進むにつれても同じく (4)式を満さなくなる。

ii) W. JANDER の説

Jander は固相反応における反応速度は反応生成層の厚さに逆比例するという仮定のものに Fick の拡散法則を用いて(2)式を求めた.

(2)式については Fig. 13 (a) にその 1 例を示すごとく FeAl_2O_4 の粉末とタブレットについては二次曲線的関係になり、(2) 式の関係は満されなかつた。また FeO 粉末については良好な一致を示す結果もあるが、全体としてはあまりよい適合性を示していない。

iii) 矢木・国井の説

還元速度は反応物質内のガス拡散によって律速されるという見方から(5)式を提案している。

t : 反応時間, α : 反応割合, K : 拡散抵抗, D : 粒子径, t_0 : 反応面に一定のガス濃度勾配を生ずるに必要な時間

(5)式についての適合性は FeAl_2O_4 粉末とタブレットとにはよく一致した結果が得られた。Fig. 13(b) はその1例である。しかし FeO 粉末については(5)式は満足しなかつた。

iv) W. M. McKEWAN の説

彼は還元速度を化学反応の面から検討して次の式を発表している。

r_0 : 粒子径, d_0 : 密度

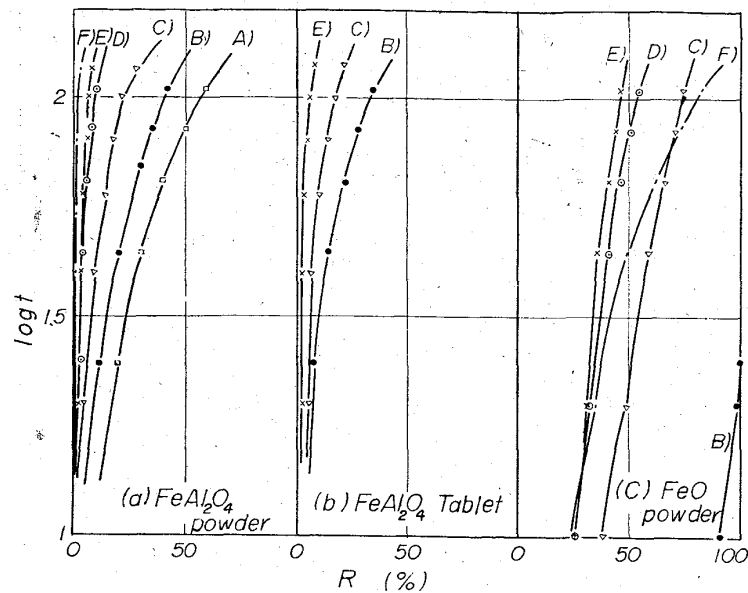


Fig. 12. Change of reduction value vs. $\log t$ at various temperatures.

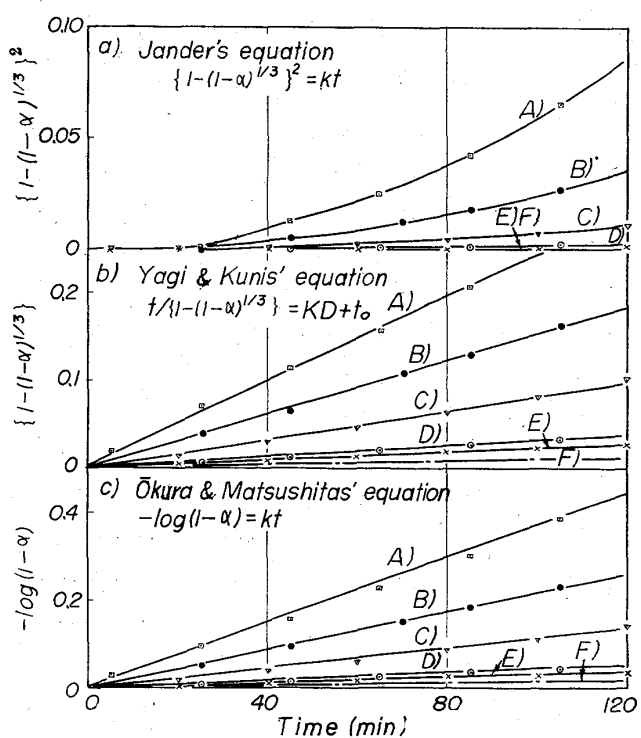


Fig. 13. Change of reduction time vs. $\{1 - (1 - \alpha)^{1/3}\}^2$, $\{1 - (1 - \alpha)^{1/3}\}$ and $-\log(1 - \alpha)$ of FeAl_2O_4 powder at various temperatures

(6)式の結果は矢木・国井の場合と同じく FeAl_2O_4 粉末とタブレットとに関してはよい一致性を示したが、 FeO 粉末に関しては不一致であった。Fig. 14 は (6) 式の結果を示したものである。なお d_0 の値としては

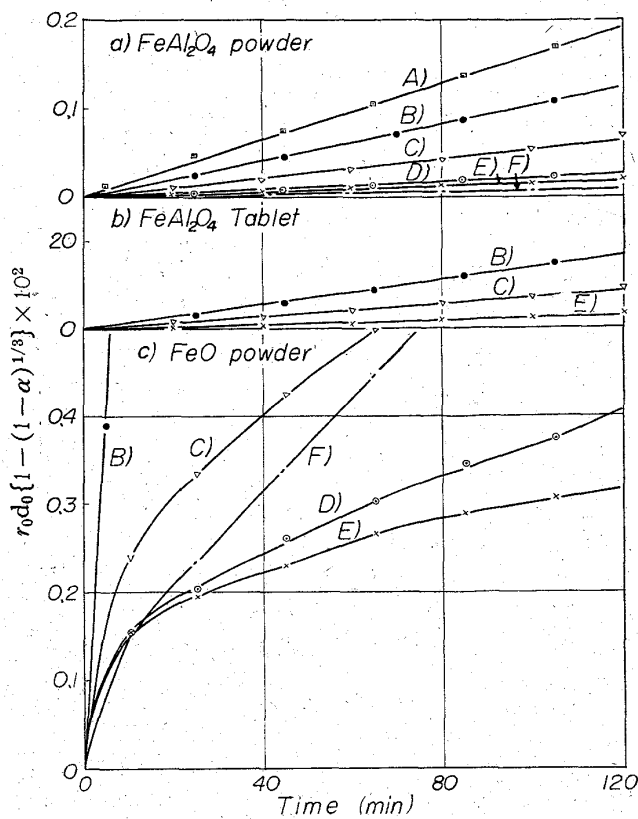


Fig. 14. Change of reduction time vs. $r_0 d_0 \{1 - (1 - \alpha)^{1/3}\}$ at various temperatures.

FeAl_2O_4 粉末については 3.93 g/cm^3 ²⁷⁾, FeO 粉末については 5.6 g/cm^3 ²⁸⁾なる値を用いた。

v) 大蔵・松下の説

松下らは還元試料が還元過程において気孔、亀裂などを生ずる場合の影響を考慮して還元によつて除去される酸素量から還元反応速度式を求めている。

(7)式に Fig. 11 の結果を代入してみると FeAl_2O_4 粉末およびタブレットについては比較的よい適合性を示した。しかし FeO 粉末についてはやはり(7)式も適合しなかつた。なを Fig. 13(c) に FeAl_2O_4 粉末の結果を示した。

以上それぞれの式について FeAl_2O_4 粉末, タブレットおよび FeO 粉末の水素還元結果の適合性を検討してみた。その結果 FeAl_2O_4 粉末とタブレットとについては(5)(6)式がもつともよい適合性を示し, (7)式にも比較的よい一致性が認められた。しかし FeO 粉末については部分的に適合する式はあるが, 完全に一致する式は見い出せなかつた。

さて FeAl_2O_4 粉末とタブレットについては本実験結果は(5)(6)式にもつともよく適合したが、律速段階から考えてみると(5)式は松下ら²⁶⁾も述べているごとく拡

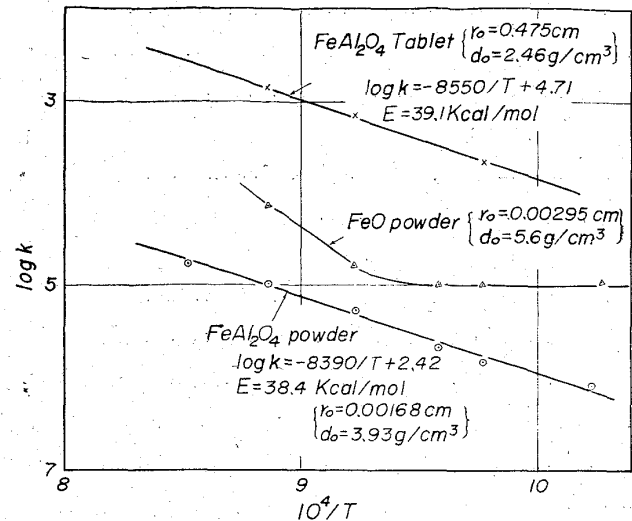


Fig. 15. Relation between $1/T$ vs. $\log k$.
(k : from McKewan's equation)

散抵抗を一定とおいていること、およびガス濃度勾配が明確に現われると考えられる比較的粒径の大きな条件下での速度式であるので微粉末の還元にこの式を適用することはあまり適当でない。したがつて本実験結果を満たす反応速度式としては還元により生成した Fe 層の拡散抵抗を考慮した(5)式よりも、むしろ化学反応律速の考え方から導かれた(6)式を用いるほうが適当であると考えられる。

一方 FeO 粉末の還元速度については *J. M. QUETS* ら²⁹⁾によれば化学反応律速であるといわれているが、本実験結果からは十分に解明できない。また(6)式が満されなかつた理由の一つとしては FeO 粉末の高温における焼結塊状化が考えられる。

つぎに(6)式により求めた反応速度恒数の温度依存性について検討してみると Fig. 15のごとくなり, FeAl_2O_4 粉末およびタブレットはよい直線性を示している。これより反応の活性化エネルギーとしては FeAl_2O_4 粉末では約 38 kcal/mol, FeAl_2O_4 タブレットの場合は約 39 kcal/mol なる値が得られた。したがつて FeAl_2O_4 の水素還元における反応の活性化エネルギーとしては約 39 kcal/mol と考えてよいであろう。一方 FeO 粉末については Fig. 14(c) の反応初期における比較的(6)式が適合する範囲について求めた k の値を示したが、800 °C 付近において曲折点を生じている。これは A. J. WILHELEM ら³⁰⁾も述べているように焼結塊状による FeO 粉末の粒径変化が起つているためであろう。

3.3.2 水素還元をした FeAl_2O_4 粉末のX線回折結果

FeAl_2O_4 粉末を水素還元した試料の実験後の色調変化は黒色を示しており、 FeAl_2O_4 に特有の緑色は消失していた。この試料について X 線回折を行なつた結果、還

元生成物としては Fe のほかにスピネル構造のアルミナが生成していた。このアルミナは A.S.T.M. カードから η - Al_2O_3 であると推定され、 α - Al_2O_3 の存在は全く認められなかつた。そこでこの η - Al_2O_3 の知見をうるため Fig. 1 の装置を用いて 1100~1300°C において水素および炭素粉末による FeAl_2O_4 粉末の還元実験を行なつた。このときの水素流量は 100 cc/min であり、 FeAl_2O_4 粉末と炭素は重量比で 2:1 の割合に混合したものを Ar 中で加熱反応させた。その結果を Fig. 16 および Fig. 17 に示した。Fig. 16 より本実験温度範囲では FeAl_2O_4 は H_2 によりスピネル構造の η - Al_2O_3 と α -Fe とに分解されていることがわかる。一方 C による還元では Fig. 17 よりも明らかなごとく 1100°C では α -Fe と η - Al_2O_3 に近い物質（以後これを η' - Al_2O_3 とかく）が還元生成しており、末還元の FeAl_2O_4 自身も原試料の場合よりも d の値が幾分小さくなる傾向が認められた。しかし 1300°C では還元生成物は α -Fe と α - Al_2O_3 とであつた。すなわち FeAl_2O_4 の還元は H_2 による場合は低温 (<1300°C) ではコランダム結晶の α - Al_2O_3 は生成せずスピネル型の η - Al_2O_3 が生成する。

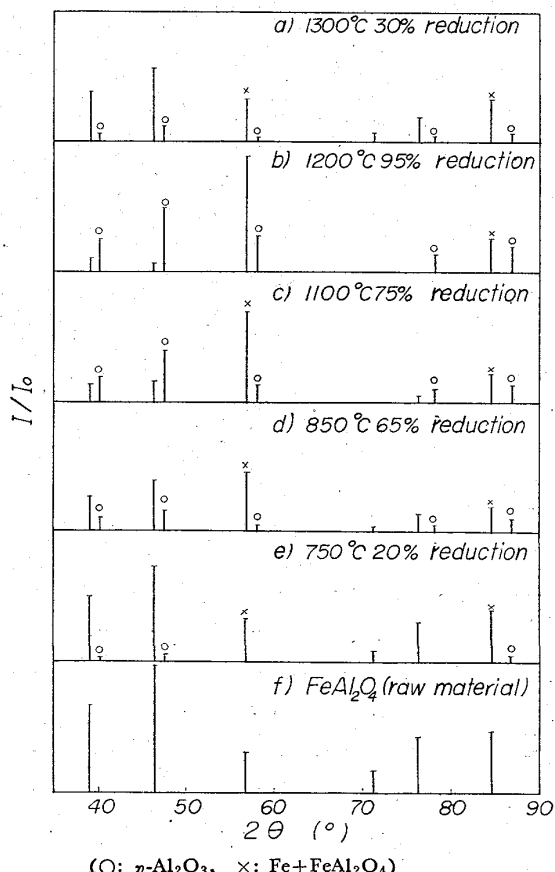


Fig. 16. Results of X-ray diffraction of FeAl_2O_4 powder reduced with H_2 at flow rate 100 cc/min. (Fe-K α)

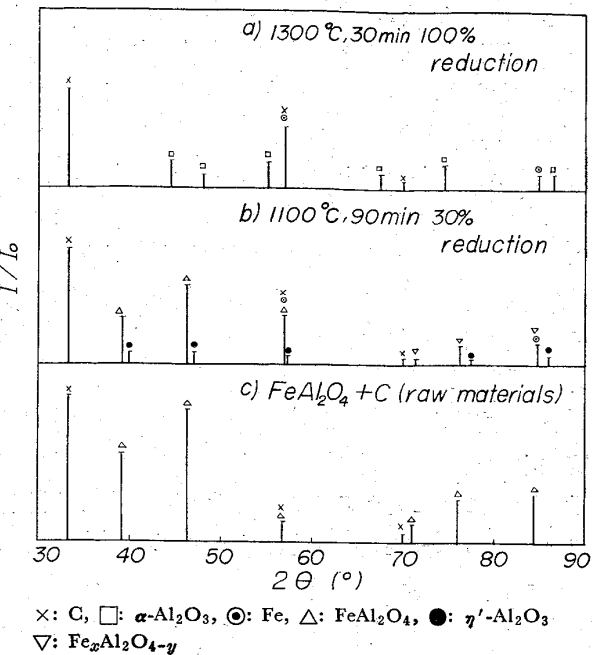


Fig. 17. Results of X-ray diffraction of FeAl_2O_4 powder reduced with C in Ar atmosphere (Fe-K α)

また C の場合には 1100°C 以下では $\text{Fe}_x\text{Al}_2\text{O}_{4-y}$ ($x, y < 1$) と η' - Al_2O_3 になり、1300°C では α - Al_2O_3 が生成する。

4. FeAl_2O_4 の溶鉄中の炭素による分解 および溶鉄中の挙動に関する実験

FeAl_2O_4 から生成するアルミナの溶鉄中での挙動については、前述のアルミナの多形の問題とも関連して興味深い問題である。そこでタンマン炉において Fe-C 合金を作成し、その上に FeAl_2O_4 粉末およびタブレットを置いてそれの還元率を調べ、さらに鉄中の反応生成物について電解抽出による残渣分析から調べた。

4.1 実験方法

実験に使用した合成 FeAl_2O_4 は 3 節の実験に使用したものと同一試料である。

溶鉄中の炭素による FeAl_2O_4 の還元実験では Fe-C 合金 (C% 0~3%) 50~100 g を使用し、タンマン炉にて溶融させ、所定温度に到達後約 5 g の分析用試料を石英管 (4mm ϕ) にて採取した。しかる後溶鉄表面に FeAl_2O_4 粉末およびタブレットを投入して一定時間保持してからつぼごと水中にて急冷した。冷却後は粉末の場合は鉄表面の付着物を、またタブレットについては溶鉄との境界部分を機械的に分離して得た物質を X 線回折に供した。鉄試料の一部は真空溶融法によつて酸素の分析を、残り試料については高周波加熱燃焼法による炭素分析を行なつた。測温は Pt-Pt·Rh 热電対と光高温計の

併用により測定した: 実験温度は1490~1700°Cである。

一方電解抽出による残渣分析の試料は次のようにして得た。すなわち FeAl_2O_4 粉末をアルミナ質るつぼ(3 cm $\varnothing \times 10\text{cm}$)の底部に収め、上から別に溶解した溶鉄を流し込み、粉末を浮上分離させて大気中に放冷した。このようにして得た凝固鉄の一部をクエン酸ナトリウム5%, KBr 1~2%, KI 0.6% の中性電解液で電流密度20mA/cm²の条件で電解した。抽出された残渣についてはX線回折と化学分析により残渣の成分を調べた。

4.2 実験結果

4.2.1 溶鉄中の炭素による FeAl_2O_4 の分解

溶鉄中で FeAl_2O_4 粉末を分解させた結果をTable 1に示した。ここにいうアルミナ含量は回収した試料中に含まれている $\alpha\text{-Al}_2\text{O}_3$ の量を意味する。

Table 1. The change of decomposition of FeAl_2O_4 with carbon, reaction time and temperature and carbon content.

Temp. (°C)	Time (min)	[O] % (initial)	[C] %		Alumina content
			Initial	Final	
1490	3	0.0144	0.645	0.617	0
1580	3	—	0.075	0.087	0
	3	0.0303	0.588	0.455	4
	3	0.0035	1.05	0.741	19
	3	0.0175	2.53	1.96	50
	7	—	0.462	0.179	31
1700	3	—	0.552	0.347	—

これより FeAl_2O_4 の分解量は炭素含有量が増加するにつれて増すことが知られている。また脱炭速度と生成した $\alpha\text{-Al}_2\text{O}_3$ との間には一次的関係が認められた。

次に時間による $\alpha\text{-Al}_2\text{O}_3$ の生成量変化は時間が経過するにつれて $\alpha\text{-Al}_2\text{O}_3$ の生成量が増大することがわかつた。そして脱炭量も多くなつてゐる。

FeAl_2O_4 の分解量におよぼす温度の影響は、温度が上昇するにつれて FeAl_2O_4 は分解されやすい傾向を示す。しかし 1700°C では冷却時に沸騰現象が生じるために FeAl_2O_4 の大部分が飛散してしまい、生成した $\alpha\text{-Al}_2\text{O}_3$ の量は判明しなかつた。

タブレットについても同様な分解傾向と溶鉄中の炭素含有量変化が認められた。

4.2.2 X線回折結果

FeAl_2O_4 と C との反応による生成物は3節の結果からも明らかかなごとく興味ある問題である。そこで本実験の試料についても X線回折を行ないその結果を Fig. 18 に示した。これより FeAl_2O_4 粉末の場合には $\alpha\text{-Al}_2\text{O}_3$

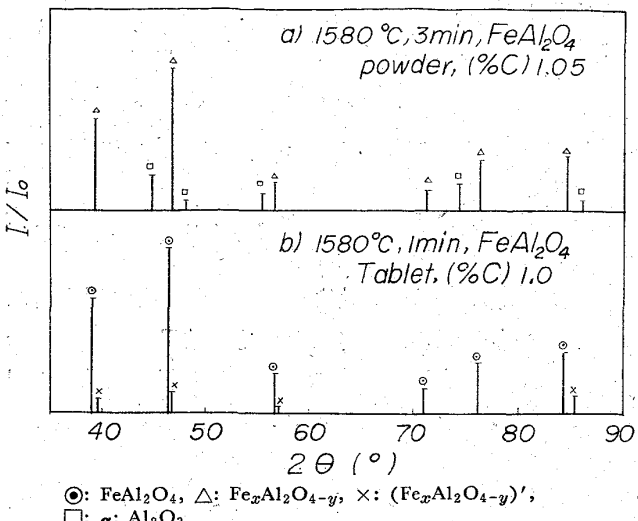


Fig. 18. Results of X-ray diffraction of FeAl_2O_4 powder and tablet reduced with C in liquid iron.

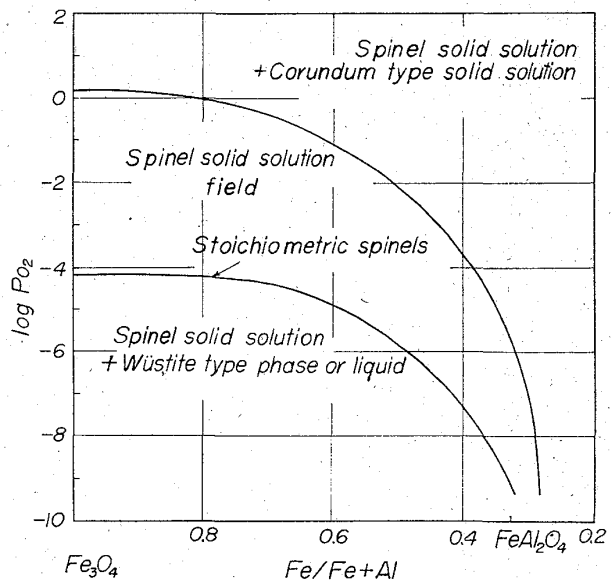


Fig. 19. The spinel field boundary in the system $\text{FeO}-\text{Fe}_2\text{O}_3-\text{Al}_2\text{O}_3$ at 1500°C.

が生成していることがわかる。しかし FeAl_2O_4 自身も $\text{Fe}_x\text{Al}_2\text{O}_{4-y}$ にすべて変化していた。一方タブレットの場合には $\alpha\text{-Al}_2\text{O}_3$ の生成は確認されなかつたが、 $\text{Fe}_x\text{Al}_2\text{O}_{4-y}$ から $\eta'\text{-Al}_2\text{O}_3$ に変化する途中の物質と考えられる FeAl_2O_4 の固溶体(以後 $(\text{Fe}_x\text{Al}_2\text{O}_{4-y})'$ と記す)が生成していた。以上の溶鉄中の FeAl_2O_4 の変化を説明するには R. D. Roiter⁹ も述べているごとく、溶鉄中の酸素分圧の起因するものと考えられる。Fig. 19 は $\text{Fe}_3\text{O}_4-\text{Al}_2\text{O}_3$ 系での Po_2 によるスピネルの安定存在域を示したものであるが、この図によれば FeAl_2O_4 は酸素分圧によって中間固溶体が生成可能である。したがつて溶鉄中の FeAl_2O_4 は酸素分圧により中間固溶体

に変化し、この中間固溶体が酸素分圧や還元の影響を受けて $\alpha\text{-Al}_2\text{O}_3$ を最終的に生成するものといえよう。

つぎに補足的な実験として行なった電解抽出法による残渣のX線回折結果は、残渣の大部分は FeO であることが判明した。実験中の所見によれば合成 FeAl_2O_4 は溶鉄ときわめてねれにくく、かつその比重差からして溶鉄中に十分に分散させることは非常に困難であった。なおこの実験において合成 FeAl_2O_4 のかわりにアルミ箔0.2gを投入したときの残渣は FeAl_2O_4 が大部分であった。この結果は川和らの結果³⁾とよく一致しているといえよう。またこの際認められた FeAl_2O_4 は A.S.T.M. カードの d 値によく一致していた。

5. 結果のまとめ

5.1 高温における FeAl_2O_4 の生成速度および被還元性について

溶鉄で Al 脱酸処理をした場合の FeAl_2O_4 の生成について川和ら³⁾の報告、および前記 4.2.2 項での残渣のX線回折結果からも明らかなどとく非常に短時間であると考えられる。そこで溶鉄中に添加された Al は極短時間で溶鉄中の酸素と反応して $\alpha\text{-Al}_2\text{O}_3$ を生成し、この $\alpha\text{-Al}_2\text{O}_3$ と FeO が反応して FeAl_2O_4 を生成するという仮定のもとに本実験結果の FeO と $\alpha\text{-Al}_2\text{O}_3$ とから FeAl_2O_4 の生成する時間を溶鋼を取り扱うがごとき高温度にまで概想してみた。その結果高温では相当に早く FeAl_2O_4 が生成することが判明した。すなわち FeAl_2O_4 の生成が Jander の式に適合するとして Fig. 7 より最小二乗法により直線式を求めると(8)式のごとくなる。

$$\log k = -14410/T + 7.69 \quad \dots \dots \dots \quad (8)$$

W. A. FISCHER ら³¹⁾の $\text{FeO}\text{-Al}_2\text{O}_3$ 系状態図によれば FeAl_2O_4 の m.p. は 1780°C である。したがつて本実験結果から得た(8)式は $950\sim1200^\circ\text{C}$ の範囲で成立するものであるが、これを FeAl_2O_4 の固相温度域である 1700°C にまで外挿してみることにする。Table 2 は各温度における 100% の FeAl_2O_4 が生成するに必要な

Table 2. The required time for the formation of FeAl_2O_4 at 1400°C to 1700°C .

Temp. ($^\circ\text{C}$)	k	t (sec)	t (sec)*
1400	0.1234	486	156
1500	0.3692	163	59
1600	1.0026	60	27
1700	2.455	24	12

(* The required time for the formation of FeAl_2O_4 by the parabolic law)

時間を(8)式から求めたものである。

本実験ではいわゆる非金属介在物に比較して大なる粒径の粉末試料を用いていること、および実際の溶鋼では FeO が液体の状態である点を考慮に入れるべく少なくとも Table 2 で得られた結果よりもさらにすみやかに FeAl_2O_4 は生成するものと考えられる。事実川和らは 1550°C において Al 脱酸を行なうと 30sec 後には FeAl_2O_4 に変化しているという報告をしている例からみて FeAl_2O_4 の溶鉄中での生成は早いものといえよう。

FeAl_2O_4 の還元速度が FeO の還元速度に比較して水素の場合どの程度の大きさであるかということは、溶鉄中の FeAl_2O_4 の被還元性に一つの目安を与えるものと考えられる。いま本実験の水素還元結果が McKEWAN の反応速度式にしたがうものとして Fig. 14 において FeAl_2O_4 粉末の反応速度恒数を k_1 、 FeO 粉末の反応速度恒数を k_{II} とおき k_1/k_{II} の値を求めてみると Table 3 のごとくなる。

Table 3. The ratio of constant of FeAl_2O_4 reduction rate to constant of FeO reduction rate.

Temp. ($^\circ\text{C}$)	700	750	800	850
Ratio				
k_1/k_{II}	0.050	0.161	0.380	0.117

これより FeAl_2O_4 は FeO に比較して水素による還元速度は数～數十分の一程度の大きさであると考えられる。一方炭素による FeAl_2O_4 の還元速度は、本実験結果からは溶鉄中の炭素含有量により変化する傾向が認められた。しかし C > 0.5% では短時間でも FeAl_2O_4 の分解が進行しているので溶鉄中における FeAl_2O_4 の還元は以上の結果から推察するにすみやかに行なわれると思われる。

2) FeAl_2O_4 の溶鉄中での変化について

溶鋼中で生成するアルミナ系介在物のうち $\alpha\text{-Al}_2\text{O}_3$ の生成機構については、最近泉田の低次アルミナ酸化物の存在を仮定してこれより $\alpha\text{-Al}_2\text{O}_3$ が生成するという説、あるいは岩本らの溶鋼中の水素と Al が反応して生成した Gibbsite ないしは Boehmite から変化して $\alpha\text{-Al}_2\text{O}_3$ が生成する説などが発表された。また川和らは溶鋼中に Al を添加すると、添加直後はほとんど FeAl_2O_4 であるが、時間が経過するにつれて $\alpha\text{-Al}_2\text{O}_3$ の量が増すと報告している。そこで非金属介在物としての $\alpha\text{-Al}_2\text{O}_3$ の生成を本実験の X 線回折結果から検討してみた結果 FeAl_2O_4 からの生成過程としては次のようになることがわかつた。すなわち Al を添加した場合、溶鋼中の酸素と

反応して比較的すみやかに FeAl_2O_4 が生成し、この FeAl_2O_4 は時間の経過とともに溶鉄中の H_2 や C などから還元作用を受けて鉄とアルミナに分解される。そしてアルミナの変化過程としては FeAl_2O_4 が還元されるとスピネル型の固溶体に変化し、この固溶体はさらに還元作用を受けて $\eta\text{-Al}_2\text{O}_3$ ないしは $\theta\text{-Al}_2\text{O}_3$ にまで変化する。この $\eta\text{-Al}_2\text{O}_3$ や $\theta\text{-Al}_2\text{O}_3$ は熱作用などの影響を受けて $\alpha\text{-Al}_2\text{O}_3$ を生成する。他方、酸素分圧は FeAl_2O_4 が還元される結果当然高くなり、そのため Roiter の結果からもわかるごとく $\alpha\text{-Al}_2\text{O}_3$ は生成しやすくなる。以上の事柄をX線回折の面から $\alpha\text{-Al}_2\text{O}_3$ を標準物質としてそれぞれの *d* 値を求め、表にしたのが Table 4 である。すなわち FeAl_2O_4 は還元されると一たんスピネル構造をした物質に変化していることがわかる。なおこれまで $\eta'\text{-Al}_2\text{O}_3$ と記してきた物質は A.S.T.M. カードによれば $\theta\text{-Al}_2\text{O}_3$ に近い物質とも考えられるが、本実験ではスピネル型の一物質と考えて、便宜上 $\eta'\text{-Al}_2\text{O}_3$ とした。

さて先に述べた岩本らの説におけるアルミナ水和物から $\alpha\text{-Al}_2\text{O}_3$ への変化過程で生成するとされている $\gamma\text{-Al}_2\text{O}_3$ や $\theta\text{-Al}_2\text{O}_3$ などに関しては坂本の説³¹⁾から考慮すると $\eta\text{-Al}_2\text{O}_3$ の変態によつても生成可能であるといえるので、溶鋼中に存在する種々のアルミナ化合物は FeAl_2O_4 の還元により生成することも考えられる。

5. 結 言

溶鋼中での FeAl_2O_4 の挙動を知る目的で FeAl_2O_4 の生成と還元実験をおもに固相温度域で行ない、また合成 FeAl_2O_4 を使用して溶鋼中の炭素による被還元性についても実験してみた。その結果、次のことが明らかとなつた。

1) FeAl_2O_4 の生成速度は相当に大であり、とくに溶鋼中での FeAl_2O_4 の生成はすみやかに行なわれるものと推察できた。また FeO と $\alpha\text{-Al}_2\text{O}_3$ との固相反応による FeAl_2O_4 生成の活性化エネルギーは約 60Kcal/mol という値を得た。

Table 4. X-ray diffraction results of FeAl_2O_4 reduced with hydrogen and carbon (Fe-K α , Gonio speed: 1/4 °/min).

<i>d</i> (Å)	Experimental condition Material	Raw material	H_2 reduction of FeAl_2O_4 powder (700~1300°C)	C reduction of FeAl_2O_4 powder (1100°C)	C reduction of FeAl_2O_4 powder (1300~1580°C)	C reduction of FeAl_2O_4 tablet (1490~1580°C)
3.479	$\alpha\text{-Al}_2\text{O}_3$				○	
2.877	FeAl_2O_4	○	○	○		○
2.874	$\text{Fe}_x\text{Al}_2\text{O}_{4-y}$					○
2.853	$(\text{Fe}_x\text{Al}_2\text{O}_{4-y})'$			○		○
2.842	$\eta'\text{-Al}_2\text{O}_3$		○			
2.819	$\eta\text{-Al}_2\text{O}_3$		○			
2.552	$\alpha\text{-Al}_2\text{O}_3$				○	
2.456	FeAl_2O_4	○	○	○		○
2.448	$\text{Fe}_x\text{Al}_2\text{O}_{4-y}$				○	
2.439	$(\text{Fe}_x\text{Al}_2\text{O}_{4-y})'$				○	
2.422	$\eta'\text{-Al}_2\text{O}_3$			○		○
2.405	$\eta\text{-Al}_2\text{O}_3$		○			
2.379	$\alpha\text{-Al}_2\text{O}_3$				○	
2.085	$\alpha\text{-Al}_2\text{O}_3$				○	
2.037	FeAl_2O_4	○	○	○		○
2.030	$\alpha\text{-Fe}$		○			
2.025	$\text{Fe}_x\text{Al}_2\text{O}_{4-y}$				○	?
2.023	$(\text{Fe}_x\text{Al}_2\text{O}_{4-y})'$?
1.992	$\eta\text{-Al}_2\text{O}_3$		○			
1.740	$\alpha\text{-Al}_2\text{O}_3$?	
1.664	FeAl_2O_4	○	○			
1.660	$\text{Fe}_x\text{Al}_2\text{O}_{4-y}$			○		○
1.601	$\alpha\text{-Al}_2\text{O}_3$				○	
1.568	FeAl_2O_4	○	○			○
1.566	$\text{Fe}_x\text{Al}_2\text{O}_{4-y}$			○		?
1.556	$(\text{Fe}_x\text{Al}_2\text{O}_{4-y})'$?
1.536	$\eta\text{-Al}_2\text{O}_3$		○			
1.441	FeAl_2O_4	○	○			
1.438	$\text{Fe}_x\text{Al}_2\text{O}_{4-y}$			○		○
1.428	$(\text{Fe}_x\text{Al}_2\text{O}_{4-y})'$			○		○
1.418	$\eta'\text{-Al}_2\text{O}_3$				○	
1.410	$\eta\text{-Al}_2\text{O}_3$		○			?
1.404	$\alpha\text{-Al}_2\text{O}_3$					

○: confirmed ? : unconfirmed.

2) 合成した FeAl_2O_4 の水素による還元は McKEWAN の反応速度式に適合し、その反応の活性化エネルギーは約 39 Kcal/mol であった。なお FeAl_2O_4 の水素による還元速度は FeO のそれに比して数～数十分の一程度であると考えられるが、溶鋼中ではこのほか炭素によつても還元を受けるので溶鋼中の FeAl_2O_4 の還元速度も相当に大きいものと考えられる。

3) FeAl_2O_4 からの還元生成物は温度、還元雰囲気および酸素分圧により異なる。すなわち水素の場合は 1300 °C 以下では $\alpha\text{-Fe}$ と $\eta\text{-Al}_2\text{O}_3$ とが生成する。炭素による場合は 1100°C 以下では $\text{FeAl}_2\text{O}_4 \rightarrow \text{Fe}_x\text{Al}_2\text{O}_{4-y} + \alpha\text{-Fe} \rightarrow \eta'\text{-Al}_2\text{O}_3 + \alpha\text{-Fe}$, 1300°C 以上では $\text{FeAl}_2\text{O}_4 \rightarrow \text{Fe}_x\text{Al}_2\text{O}_{4-y} + \alpha\text{-Fe} \rightarrow \alpha\text{-Al}_2\text{O}_3 + \alpha\text{-Fe}$ なる過程をおもに経て還元物質を生成する。なおこの際得られたスピネル型の物質は還元作用と同時に溶鉄中の酸素分圧の影響も相当に受け生成するものと考えられる。そして溶鋼中の非金属介在物としての $\alpha\text{-Al}_2\text{O}_3$ はこれらの過程を経て最終的に生成されるといえよう。

なお本実験を遂行するにあたつて名古屋大学金属工学科の佐野幸吉教授ならびに井上道雄教授から有益な御指導を賜つたこと、電解鉄より残渣を電解抽出する実験には大同製鋼中央研究所の加藤、柳田両氏の御協力を得たことをここに記すとともに深く感謝します。

文 獻

- 1) 前川、中川、古川: 学振19委 (昭39年4月)
- 2) 菅輪、林、加藤: 名工試報告, 8 (昭34年) 5, p. 344
- 3) 川和、大久保、井樋田: 鉄と鋼, 50 (1964) 11, p. 1859
- 4) J. CHIPMAN, T. C. M. PILLAY: J. Amer. Ceram. Soc. 43 (1960), p. 583
- 5) B. G. BALDWIN: J. Iron & Steel Inst. (U.K.), 179 (1955), p. 142
- 6) B. G. LEBEDEV: Chem. Abst., 58 (1963), 4223 e
- 7) 泉田: 鉄と鋼, 50 (1964) 3, p. 483

- 8) 足立、岩本、上田: 鉄と鋼, 50 (1964) 11, p. 1864
- 9) B. D. RITTER: J. Amer. Ceram. Soc., 47 (1964) 10, p. 509
- 10) 菅輪、小坂、加藤、水田: 名工試報告, 12 (1963), p. 206
- 11) W. JANDER: Z. Anorg. Chem., 163 (1927), p. 1
- 12) 渡辺: 日本金属学会誌, 27 (1963) 1, p. 9
- 13) F. B. PICKRING: Iron & Steel, (1957) 1, p. 3
- 14) R. LINDNER: Z. Elektrochem. 59 (1955), p. 967
- 15) R. LINDNER, Å ÅKERSTROM: Z. Phy. Chem. [N.F], 6 (1956), p. 162
- 16) 小松: 窯業協会誌, 65 (1957) 734, p. C41
- 17) R. JAGTISCH, Bo. BENGSTON: Arkiv. Kem. Mineral. Geol., 24A (1947), p. 18
- 18) 久島、天沼: 日本鉱業会誌, 68 (1952), p. 267
- 19) G. ECONOMOS: J. Amer. Ceram. Soc., 43 (1960), p. 48
- 20) J. MANEC: J. Physique, 24 (1963), p. 447
- 21) 井本、森山: 工業化学雑誌, 66 (1963) 3, p. 297
- 22) 森: 鉄と鋼, 50 (1964) 13, p. 2259
- 23) G. TAMMANN: Z. Anorg. Chem., 123 (1922), p. 196
- 24) 矢木、国井: Vth. Symposium (International) on Combustion, 231 (1955)
- 25) W. M. McKEWAN: Trans. Met. Soc., Amer. Inst. Min., Met. & Pet. Eng., 218 (1960), p. 2
- 26) 大蔵、松下: 鉄と鋼, 50 (1964) 2, p. 159
- 27) Smithell: Met. Ref. Book II (1955), p. 876
- 28) 吉木: 鉱物工学, (昭34年), p. 663
- 29) J. M. QUETS, M. E. WADSWORTH, J. R. LEWIS: Trans. Met. Soc., Amer. Inst. Min., Met. & Pet. Eng., 221 (1961), p. 1186
- 30) A. J. WILHELEM & G. R. St. PIERRE: Trans. Met. Soc., Amer. Inst. Min., Met. & Pet. Eng., 221 (1961), p. 1267
- 31) W. A. FISCHER & Alfred HOFFMANN: Archiv Eisenhüttenw., 27 (1956), p. 43
- 32) 坂本: 窯業協会誌, 67 (1959) 4, p. C114